

**ДИНАМИКА НЕЛИНЕЙНОГО КОЛЕБАТЕЛЬНОГО КОНТУРА
С $p-n$ -ПЕРЕХОДОМ ПРИ РАЗЛИЧНЫХ НАПРЯЖЕНИЯХ СМЕЩЕНИЯ
И ВОЗДЕЙСТВИИ ВНЕШНЕГО ГАРМОНИЧЕСКОГО СИГНАЛА**

A. C. Максимов, И. А. Максимов

Исследование влияния внешнего периодического воздействия $V_{\sim} \sin 2\pi ft$ на нелинейный колебательный контур с $p-n$ -переходом посвящено достаточно большое количество работ [1-4]. Нетривиальная динамика такой системы рассматривалась при отсутствии постоянного смещения на $p-n$ -переходе. В случае же различных напряжений смещения различными будут как значение емкости $p-n$ -перехода, так и степень нелинейного изменения этой емкости за счет сигнала $V_{\sim} \sin 2\pi ft$. Следовательно, постоянное смещение наряду с амп-

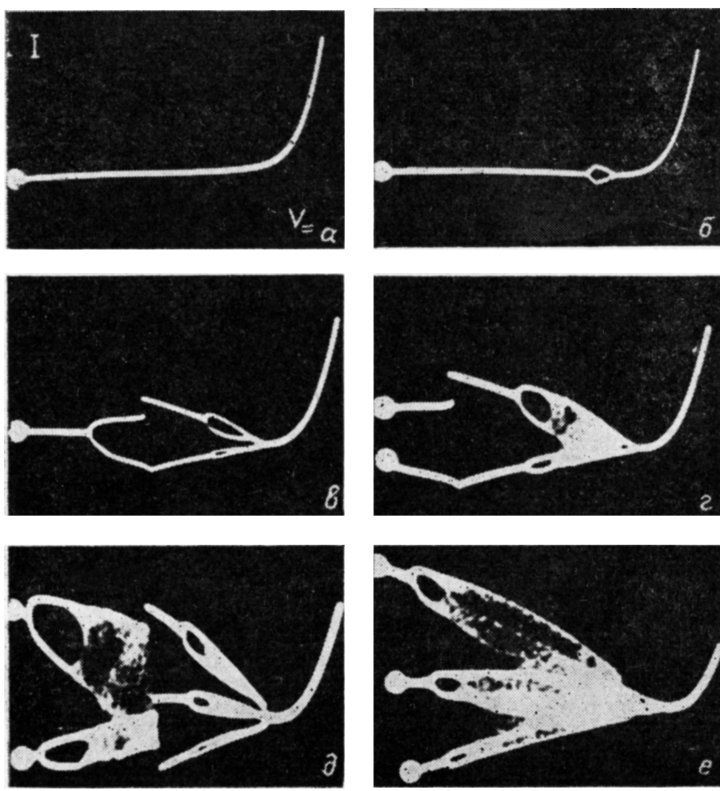


Рис. 1. Осциллографические однопараметрические бифуркационные диаграммы тока I нелинейного колебательного контура при пилообразном изменении напряжения смещения V_{\sim} на $p-n$ -переходе от 0 до +1 В для различных значений амплитуд V_{\sim} внешнего воздействия.

$a - 0.1, b - 0.14, c - 0.56, d - 0.6, e - 1.1, f - 4$ В.

плитудой и частотой f внешнего сигнала является параметром, который позволит управлять динамикой процессов в нелинейном контуре.

Поэтому целью данной работы явилось экспериментальное исследование влияния напряжения смещения $p-n$ -перехода на динамические режимы в нелинейном колебательном контуре при внешнем гармоническом воздействии. Для исследования был применен метод построения однопараметрических бифуркационных диаграмм [2], где в качестве параметра использовалось напряжение смещения V_{\sim} . Напряжение V_{\sim} , изменяющееся по пилообразному закону, осуществляло также горизонтальную развертку электронно-лучевой трубы, на экране которой для каждого значения V_{\sim} путем стробирования яркости фиксировалось значение переменной составляющей тока I контура только в моменты времени $t=nT$, где

$n=1, 2, 3, \dots$, $T=1/2\pi f$, т. е. на экране реализуется бифуркационная диаграмма $I-V$ для определенного значения амплитуды V_{\sim} и частоты f сигнала внешнего воздействия.

В качестве нелинейной емкости в контуре использовался коллекторный $p-n$ -переход транзистора типа КТ 3102. Частота внешнего воздействия f совпадала с невозмущенной частотой f_0 контура $f=f_0=600$ кГц, а амплитуда устанавливалась в пределах $0 \leq V_{\sim} \leq 4$ В. Пилообразное напряжение V_{\sim} частотой 1 кГц имело два варианта изменения: $0 \leq V_{\sim} \leq 1$ В или $-1 \leq V_{\sim} \leq 1$ В.

На рис. 1 представлен ряд бифуркационных диаграмм $I-V_{\sim}$ для варианта $0 \leq V_{\sim} \leq 1$ В при различных уровнях внешнего сигнала. При значении амплитуды синусоидального сигнала $V_{\sim} \leq 0.1$ В ток в цепи I является периодическим с периодом T и диаграмма представляет собой (рис. 1, а) кривую, аналогичную вольт-амперной характеристике $p-n$ -перехода. При

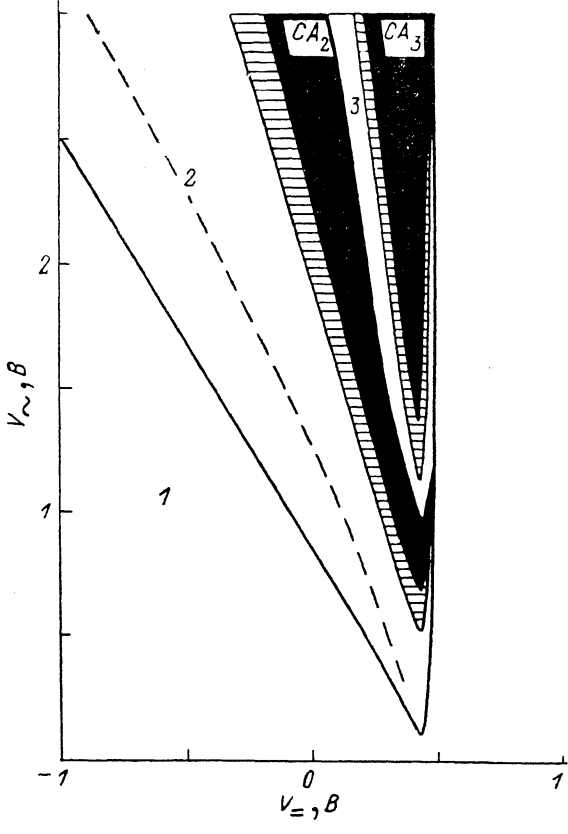


Рис. 2.

достижении $V_{\sim}=0.1$ В в интервале прямых смещений $\Delta V_{\sim}=0.42-0.44$ В образуется область субгармонического тока порядка $1/2$, которая на бифуркационной диаграмме (рис. 1, б) имеет вид «петли». С ростом V_{\sim} область первой субгармоники расширяется в сторону меньших значений V_{\sim} , и при $V_{\sim}=0.3$ В скачкообразно возникает субрезонанс того же порядка $1/2$ с участком гистерезиса. При $V_{\sim}\approx 0.53$ В на основе этого нелинейного субрезонанса в том же интервале ΔV_{\sim} возникают колебания на субгармонике порядка $1/4$ (рис. 1, в). Процесс последовательного образования с ростом V_{\sim} областей субгармоник порядка $1/2, 1/4, 1/8$ и т. д., каждая из которых находится в предыдущей, приводит к перекрытию этих областей в узком интервале изменения параметра V_{\sim} . Неоднозначность состояния системы в этом интервале быстро увеличивается, и пределом такой эволюции при $V_{\sim}\approx 0.6$ В являются хаотические колебания в системе (рис. 1, г).

Дальнейшее движение по параметру V_{\sim} приводит к возникновению в том же интервале ΔV_{\sim} области нелинейного субгармонического резонанса порядка $1/3$ (рис. 1, д). В зоне этого субрезонанса развитие хаотических колебаний происходит также на основе структуры последовательно вложенных друг в друга областей субгармоник все более высоких порядков (рис. 1, е).

Количественная обработка серии аналогичных бифуркационных диаграмм позволила построить двухпараметрическую диаграмму режимов в плоскости параметров $V_{\sim} - V_{\perp}$ (рис. 2). Значение параметра V_{\perp} изменялось в пределах $-1 \leq V_{\perp} \leq 1$ В, а амплитуда внешнего воздействия $0 \leq V_{\sim} \leq 3$ В. В области 1 существуют вынужденные колебания с частотой внешней силы. Сплошная линия, разделяющая области 1 и 2, соответствует границе, на которой происходит первая бифуркация удвоения периода колебаний. Область 2 — область существования субгармоники тока I порядка 1/2. Штриховая линия в области 2 обозначает нижнюю границу гистерезиса нелинейного субрезонанса 1/2. Запятыхованные области являются зонами удвоения периода колебаний на основе субрезонанса 1/2 и 1/3 соответственно. Далее области CA_2 и CA_3 — зоны странных аттракторов, в которых развитие хаотических колебаний происходит на основе субгармонических резонансов 1/2 и 1/3 соответственно. Из диаграммы следует, что зарождение бифуркационных явлений в осцилляторе локализовано в очень узком интервале изменения параметра V_{\perp} : $\Delta V_{\perp} = 0.42 - 0.44$ В. Из экспериментальной вольт-фарадной характеристики данного $p-n$ -перехода следует, что интервалу ΔV_{\perp} соответствует область максимальной нелинейности изменения емкости. При значении $V_{\perp} \geq 0.5$ В колебания нелинейного осциллятора шунтируются прямым током, протекающим через открытый $p-n$ -переход.

Таким образом, величина и знак напряжения смещения на $p-n$ -переходе нелинейного колебательного контура существенно влияют на бифуркационные явления. Действительно, амплитуда внешнего сигнала, необходимая для первой бифуркации удвоения в этом интервале ΔV_{\perp} , примерно в 5 раз меньше, чем при отсутствии прямого смещения $V_{\perp} = 0$. Для возникновения первой области хаоса CA_2 такое отношение амплитуд внешнего сигнала составляет 3.6. Величиной постоянного смещения можно задавать уровень внешнего перподиического сигнала, при котором в контуре возникают хаотические колебания.

В заключение авторы выражают благодарность А. С. Дмитриеву и В. Я. Кислову за полезные обсуждения.

Список литературы

- [1] Lindsay P. S. // Phys. Rev. Lett. 1981. Vol. 47. N 19. P. 1349—1352.
- [2] Testa J., Perez J., Jeffries C. // Phys. Rev. Lett. 1982. Vol. 48. N 11. P. 714—717.
- [3] Jeffries C., Perez J. // Phys. Rev. A. 1983. Vol. 27. N 1. P. 601—603.
- [4] Астахов В. В., Безручко Б. П., Селезнев Е. П. // РиЭ. 1987. Т. 32. № 12. С. 2558—2566.

Институт радиотехники и электроники
АН СССР
Москва

Поступило в Редакцию
18 августа 1988 г.

02; 10

Журнал технической физики, т. 59, в. 8, 1989

ПРИМЕНЕНИЕ МЕТОДА ОГИБАЮЩИХ ДЛЯ РАСЧЕТА КАТОДНЫХ ЭЛЕКТРОННО-ОПТИЧЕСКИХ СИСТЕМ С УЧЕТОМ ИХ АБЕРРАЦИЙ

И. А. Петров, Е. В. Шпак

Метод огибающих, при использовании которого вместо расчета большого количества траекторий находят огибающую всего пучка в целом, нашел широкое применение для пучков заряженных частиц высоких энергий [1, 2]. Как правило, в этих работах не учитывались aberrации системы. Выражения для огибающих при учете отдельных видов aberrаций (сферической aberrации или дисторсии) найдены в работе [3]. В случае, когда наибольший вклад в aberrации вносит дисторсия системы, метод был применен для расчета входных камер ФЭУ, которые являются катодными электронно-оптическими системами [4]. При расчете свойств катодных линз обычно необходимо учитывать и остальные виды aberrаций. Поэтому данная работа посвящена развитию метода огибающих в применении к катодным системам с учетом aberrаций третьего порядка. Полученные результаты применены к расчету входных камер ФЭУ, но могут быть также использованы при расчете и оптимизации других катодных ЭОС.